

海岸構造物への木材衝撃力について

曾我部隆久*・布施谷 寛**・福家敬泰***
四宮征一****・麻植政行*****

1. まえがき

台風時等において、波浪や流れにより漂流している木材を原因とする海岸及び港湾構造物の被害がしばしば発生しており、構造物の設計に当っては、これら漂流木材が構造物に衝突する際の衝撲力について考慮しておく必要がある。しかし、この漂流木材の衝突時の挙動及び衝撲力の大きさについてはほとんど明らかにされておらず、合理的な設計が困難な状況にある。このため、実物大の原木木材を用い陸上及び海上においてコンクリートと木材の衝突実験を試みた。本研究は衝撲力の設計基礎資料を得るために行った一つの実験における衝突木材の弾性波周期、衝突速度、衝撲加速度、衝撲力の作用時間等の諸元の値とそれら相互の関係について整理解析したものである。

2. 衝撲力の機構

運動量理論によれば衝突により生じる衝撲力は、衝突前後の運動量の変化分に等しい力積として式(1)により表わすことができる。

$$m(v' - v) = \int_0^\tau p dt \quad \dots \dots \dots (1)$$

ここに m : 木材の質量

v : 木材の衝撲時速度

v' : 木材の反発時初速度

p : 衝撲力

τ : 衝撲力の作用時間

木材の反発時初速度 v' は反発係数を e とすれば $v' = -ev$ であり、衝撲力 p は衝撲時の加速度を α とすれば $p = m\alpha$ であるから、これらを式(1)に代入して式(2)を得る。

$$-m(1+e)v = \int_0^\tau m\alpha dt$$

$$\therefore -(1+e)v = \int_0^\tau \alpha dt \quad \dots \dots \dots (2)$$

衝撲時の加速度 α は時間的に変化する。加速度の最大値を α_{max} とし、 $0 < t < \tau$ の範囲で、ある分布形を仮定すると一般的に加速度の積分値は、式(3)で表わすことが出来る。

$$\int_0^\tau \alpha dt = \frac{1}{n} \alpha_{max} \tau \quad \dots \dots \dots (3)$$

n : 分布形によって定まる定数

これを式(2)に代入して式(4)を得る。

$$\alpha_{max} = -n(1+e)v \frac{1}{\tau} \quad \dots \dots \dots (4)$$

負号は衝突速度と逆向きに力が作用することを示す。木材の密度を ρ_A 、長さを l 、断面積を A_0 とすると木材の質量は $m = \rho_A A_0 l$ であるから、木材の衝突によって生じる衝撲力の最大値は、負号を略して式(5)で表わすことができる。

$$P_M = m \alpha_{max} = \rho_A A_0 l n(1+e) \frac{v}{\tau} \quad \dots \dots \dots (5)$$

一方弾性波理論にもとづき Kamel, A. M.¹⁾ は固体と液体の衝突について図-1のようなモデルを考え式(11)を導きだした。

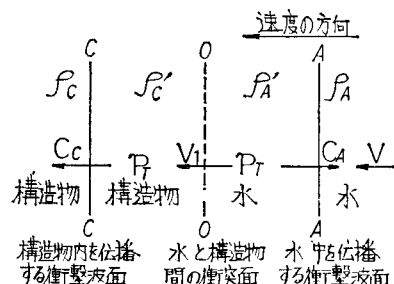


図-1 弾性波理論としてのモデル

A-A 及び C-C に2つの衝撲面がある。A-A は衝撲面 O-O から CAなる速度で、C-C は同じく Ccなる速度 v で遠ざかっている。A-A 面の先では液体は一定速度で動いており C-C 面の先では固体は静止、背後では固体が一定速度 v1で動いているとする。ρ は密度、p は圧力を示す。A-A 及び C-C において質量保存則から

$$\rho_A(v + C_A) = \rho_A'(v_1 + C_A) \quad \dots \dots \dots (6)$$

* 正会員 運輸省第三港湾建設局神戸調査設計事務所所長

** 正会員 運輸省第三港湾建設局神戸調査設計事務所次長

*** 運輸省第三港湾建設局工事課補佐官

**** 正会員 運輸省第三港湾建設局神戸調査設計事務所建設専門官

***** 運輸省第三港湾建設局神戸調査設計事務所工事専門官

表-3 弹性波波速及び固有周期

衝突条件	材種	密度 (g/cm ³)	弾性係数 (g/cm·s ²)	弾性波波速(m/s)		固有周期(s)	
				計算値	実測値	計算値	実測値
陸上実験	米松	0.68	154.8×10^9	4 772	4 954	3.37×10^{-3}	3.34×10^{-3}
	ラワン	1.04	220.5×10^9	4 605	4 326	2.59×10^{-3}	2.76×10^{-3}
海上実験	米松	0.63	133.3×10^9	4 600	4 849	3.50×10^{-3}	3.32×10^{-3}
	ラワン	0.61	127.4×10^9	4 570	4 013	2.66×10^{-3}	3.03×10^{-3}

実験に用いた木材の密度 ρ_A を重量と体積から算出し、弾性係数 E_A は農林省林業試験場調査³⁾の結果を参考にして固有周期を計算したものと、陸上及び海上実験において実測したものを表-3に示す。

計算値と実測値はほぼ一致しており衝突速度に関係なく一定値を示した。

(3) 反発係数

陸上実験における衝突速度と反発係数の関係を表わしたもののが 図-3 である。

衝突速度が米松で 1 m/s, ラワンで 2 m/s 程度までの場合反発係数 e は 0.6 程度の一定値を示すが、それ以

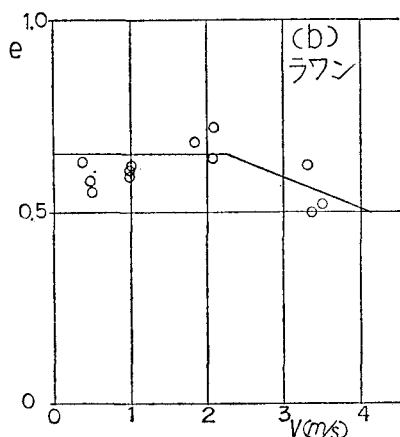
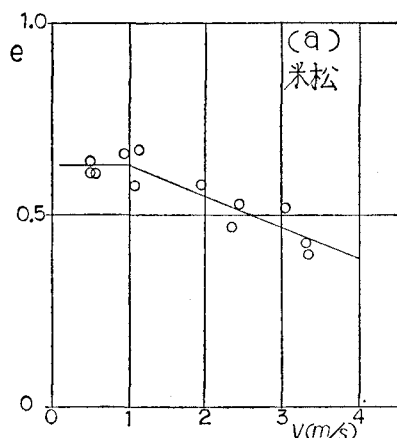


図-3 衝突速度と反発係数

上の衝突速度になると米松、ラワン共衝突速度の増加と共に反発係数 e は減少する傾向を示している。

海上実験については反発速度の測定できるケースが少なかったため反発係数の十分な解析ができていない。

(4) 衝撃力の作用時間

陸上実験における衝突速度と衝撃力の作用率との関係を、図-4 である。

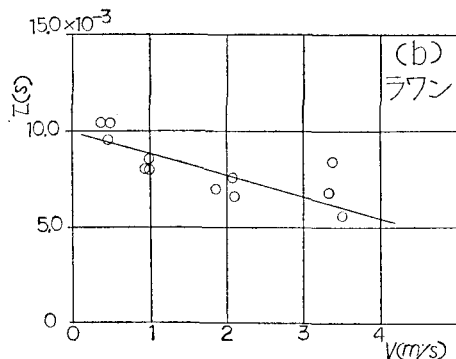
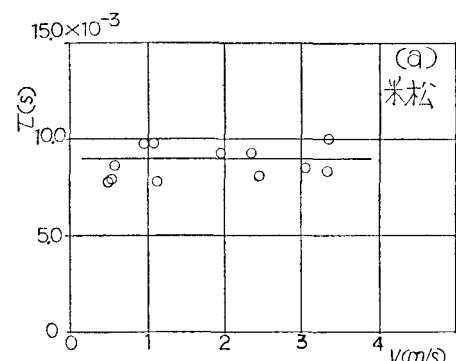


図-4 衝突速度と衝撃力の作用時間

衝撃力の作用時間 τ は米松で $(7 \sim 10) \times 10^{-3}$ s 程度の一定値を示し、ラソンでは衝突速度の増加と共に減少する傾向を示した。

海上実験における衝撃力の作用時間 τ は米松で 1×10^{-2} s, ラワンで 0.9×10^{-2} s 程度の一定値を示した。また衝撃力の作用時間 τ の値は陸上及び海上実験においても木材中を伝播する弾性波の固有周期 τ_0 の値に対し 2~3 倍の値となっており、木材の衝突面が塑性変形していることをうかがわせた。なお、式(5)及び式(12)を等しいと置いた時の衝突時の接触面積は断面積の 70~150% 程度と非現実的な値となり完全な弾性衝突でなかったことが推定される。

(5) 衝擊加速度

陸上実験における衝突速度と衝撃加速度の関係を表したのが 図-5 である。

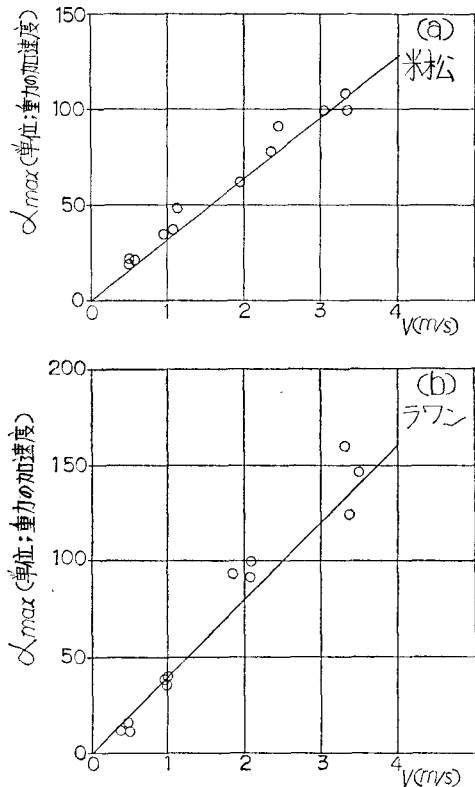


図-5 衝突速度と衝撃加速度

衝撃加速度 α_{max} は衝突速度 v にはほぼ比例していると近似でき $\alpha_{max} = kv$ とおいた時の k の値は表-4に示す値となった。

表-4 k ($k = \alpha_{max}/v$) の値

衝突条件	材種	k
陸上実験	米松	46.4
	ラワン	51.2
海上実験	米松	19.0
	ラワン	22.5

海上実験に用いた衝突速度 v の値は、図-2のC点における見掛けの衝突速度になっていることに注意を要するが、海上実験の k の値は陸上実験の $1/2$ 以下であり海水による緩衝効果の存在を示した。

(6) 衝撃加速度の分布形

図-6は陸上実験の結果を式(4)の負号を略し、衝撃加速度 α の分布形を式(17)に示す無次元量により表わし、衝突速度との関係を示したものである。

$$n = 9.8 \alpha_{max} \tau / v (1 + e) \quad \dots \dots \dots (17)$$

無次元量 n の値は矩形波で $n=1$ 、三角形波で $n=2$ 、正弦波で $n=1.57$ の値をもつ。陸上実験の米松では $n=2$ 、ラワンでは $n=1.9$ となり衝突によって生じる加速度の分布形は、三角形波で近似できることが明らかとな

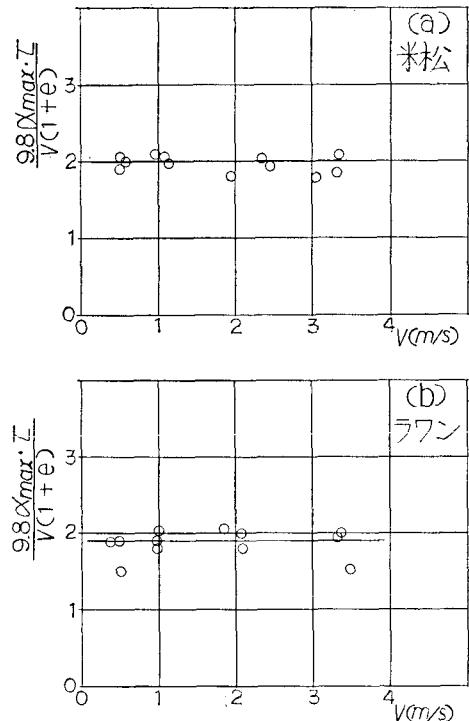


図-6 衝突速度と衝撃加速度の分布形

なった。

海上実験においては反発係数の値に信頼できるデータを得ていないので陸上実験の反発係数 $e=0.6$ を、また衝突速度は図-2のC点における衝突速度を用い見掛けの n を計算した。この結果米松、ラワン共 $n=1.1$ 前後の値となり衝突のピークが緩和されていることが推定される。

5. まとめ

(1) 木材中を伝播する弾性波の固有周期は木材の弾性係数と密度を用いて計算した値と実測値がほぼ一致した。

(2) 反発係数は木材の材質、衝突速度、衝突角（接触面積に関係）によって変化し、陸上実験においてはある衝突速度より大きくなると衝突速度の増加と共に減少する傾向が得られた。また衝撃力の作用時間は弾性波固有周期の2~3倍程度の値となり、木材の衝突面が塑性変形していることをうかがわせた。

(3) 衝撃最大加速度は概ね衝突速度に比例しておりその比例係数は、海上実験の場合見掛けの衝突速度で比較すると陸上実験の $1/2$ 以下の値となり、海水による緩衝効果の存在を示した。

(4) 衝突により発生する加速度の変化を表わす指標としての無次元量 n は、陸上実験において $n \approx 2$ の結果が得られ三角形波として近似できることが判った。な

お海上実験においては、海水を通して間接的な衝突が接触前から始まることが明らかになり、衝突速度、衝撃力の作用時間等木材の運動に及ぼす海水の影響について今後さらに検討を加える必要が判明した。また衝撃力を設計に取り入れていくためには、木材が波浪によって衝突する場合等の実際に起る現象についてもさらに把握する必要がある。

最後に本実験の実施は日本港湾コンサルタント(株)青野尚氏、菊池孝氏が熱意を持って担当された。また実験場所の確保に当っては兵庫県港湾課の多大な協力を頂いた。

参考文献

- 1) Kamel, A. M.: Shock Pressure on Coastal Structures, Proc. of A.S.C.E., WW Vol. 96, No. 3, pp. 689~699, 1970.
- 2) Lamb, H.: Hydrodynamics, Sixth Edition, Cambridge University Press, p. 155, 1932.
- 3) 岡田 清・明石外世樹 他: 土木材料学, 国民化学社, p. 42, 1967.
- 4) 高 隆二: 分離堤に作用する木材の荷重, 第26回海岸工学講演会論文集, pp. 442~445, 1979.
- 5) 第三港湾建設局: 木材の衝撃力調査報告書(陸上編), p. 82, 1980. 3.
- 6) 第三港湾建設局: 木材の衝撃力調査報告書, p. 273, 1980. 9.